

# Al-Mg 합금 CO<sub>2</sub> 레이저 용접시 고온 균열 감수성에 관한 연구

Study on the Hot Crack Susceptibility of CO<sub>2</sub> Laser Welded Al-Mg Alloys

윤 종원

동의대학교 공과대학 신소재공학과

## ABSTRACT

자기 구속 균열 시험법인 Tapered 시편 균열 시험법을 이용하여 Al-Mg 합금의 CW CO<sub>2</sub> 레이저 용접시 Mg 함량 변화에 따른 고온균열감수성 변화를 조사하였다. Mg 함량 1.9wt.%에서 최대균열감수성을 나타내고 있으며 이보다 Mg 함량이 증가하거나 감소하면 고온균열감수성이 감소한다. 용접금속 결정립 크기 또한 고온균열감수성과 관련이 있으며 Mg 함량이 증가할수록 결정립이 미세화되며, 1.9wt.%Mg 이상에서 결정립이 미세화될수록 고온균열감수성이 감소한다.

## 1. 서론

5000계열 Al-Mg 합금은 6000계열 Al-Mg-Si 합금에 비해 CO<sub>2</sub> 레이저 용접시 고온균열의 발생이 적은 것으로 알려져 있으며, CO<sub>2</sub> 레이저 용접시 고온균열감수성의 정량화 시험에서 1000계열 알루미늄에 비해 고온균열감수성이 높으나 6000계열 Al-Mg-Si 합금에 비해서 고온균열감수성이 낮은 것으로 보고되고 있다<sup>1,2)</sup>. 한편 Al-Mg 합금 모재의 강도 및 연신율과 비교한 CO<sub>2</sub> 레이저 용접부의 강도 및 연신율 저하도 Al-Mg-Si 합금에 비해 현저하지 않은 것으로 보고되고 있어<sup>3)</sup> Al-Mg 합금이 용접구조용재료로서 Al-Mg-Si 합금에 비해 유리한 측면이 있다. 본 연구에서는 Al-Mg 합금의 CO<sub>2</sub> 레이저 용접시 Mg 함량에 따른 Al-Mg 합금의 고온균열감수성의 변화를 조사하여 CO<sub>2</sub> 레이저 용접 적용을 위한 기초자료를 제공하고자 한다.

## 2. 실험 방법

### 2.1 실험 재료 및 시편 준비

2 mm 두께의 Mg 함량이 0 wt.%에 가까운 1200 판재 및 Mg 함량이 다른 일련의 5000계열 Al-Mg 합금 판재 (5005, 5251, 5754, 5083)를 사용하여 Mg 함량을 0에서 4.6 wt.% 범위에서 변화시켰다. 이 실험에서 사용한 알루미늄 합금의 조성을 Table 1에 표시하였다. 앞서의 연구<sup>2)</sup>에서 최적화한 Tapered 시편 균열시험법에 따라 길로틴 절단기를 이용하여 각 알루미늄 합금 판재로부터 Tapered 시편을 준비하였다.

### 2.2 Tapered 시편 균열 시험

Tapered 시편의 폭이 좁은 부위로부터 폭이 넓은 쪽을 향하여 시편 중심선을 따라 아래보기 자세에서 5 kW CO<sub>2</sub> 레이저 용접장치를 사용하여 melt-run 용접을 수행하였다. 이 때의 melt-run 용접 조건은 레이저 출력 5kW, 용접속도 6m/min이다. Melt-run 용접전 테이프를 사용하여 tapered 시편의 위치를 고정시켰으며 melt-run 용접시 tapered 시편에 가해지는 외부로부터의 구속을 최소한으로 하여 자기구속 (self-restraint)에 의해 균열이 발생하도록 유도하였다. 같은 용접 조건에서 3회 이상 시험을 반복하여 재현성을 확인하였다. Melt-run

용접이 완료된 후 비드 중심선을 따라 발생한 종균열의 길이를 dye penetration 방법에 의해 측정하고, 비드 총길이에 대한 종균열 길이의 백분율 (Percentage crack length, PCL)을 균열 감수성의 지수로 사용하였다.

### 2.3 종균열이 발생하는 용접금속 중심부 응고조직 관찰 및 입도 측정

Mg 함량에 따른 Al-Mg 합금 용접금속 중심부에서의 결정립 크기와 고온균열감수성과의 상관관계를 조사하였다. 종균열이 발생, 전파되는 weld center line에서의 평균 결정입도를 결정하기 위해 weld center line 중 균열이 전파되지 않은 구역에서 용접 단면을 채취하여 마운팅, 연마, 전해폴리싱한 후 편광 현미경을 이용하여 용접금속 중심부의 단면사진을 찍고, 이를 Image analyser를 이용하여 각 알루미늄 합금 용접금속 중심부의 결정립 평균 크기를 측정하였다.

## 3. 결과 및 토의

### 3.1 Mg 함량에 따른 Al-Mg 합금 CO<sub>2</sub> 레이저 용접부의 고온균열감수성의 변화

Tapered 시편에 외부 구속을 가하지 않은 상태에서 CO<sub>2</sub> 레이저를 이용하여 Tapered 시편의 폭이 좁은 부분으로부터 시편 중심선을 따라 melt-run 용접하였을 때 melt-run 용접 개시부위에서부터 자생적으로 발생한 종균열은 비드 중심선을 따라 전파한다. 이 종균열은 중도에 자발적으로 닫히게 되어 균열 전파가 끝나게 되며 종균열 전파길이는 Al-Mg 합금의 Mg 함량에 따라 변화하였다.

Al-Mg 합금의 Mg 함량이 0에서 4.6wt.%로 증가함에 따라 Tapered 시편 균열시험시 균열 감수성은 Fig. 1에서 보는 바와 같이 1.9wt.% Mg (5251 합금)에서 최대균열감수성을 나타내고 있다. Mg 함량이 1.9wt.%으로부터 증가하거나 감소할수록 고온균열감수성이 점차 감소하였다. Al-Mg 합금 CO<sub>2</sub> 레이저 용접시 고온균열감수성 거동은 Al-Mg 합금의 주조 및 아크 용접시 여러 연구자들에<sup>4,5)</sup> 의해 보고된 고온균열감수성 거동과 유사하나, 구속균열 시험법에서 보고된 최대고온균열감수성을 나타내는 Mg 함량 범위와는 매우 다른 것으로 조사되었다.

### 3.2 결정립도와 고온균열 감수성

각 Al-Mg 합금 CO<sub>2</sub> 레이저 용접금속 단면을 관찰하면 용접금속 중심부에는 등축 결정립이 발달하였음을 확인할 수 있다. Al-Mg 합금의 Mg 함량이 증가할수록 등축 결정립 구역이 증가하고 등축결정립 크기가 더 미세화되는 것을 확인할 수 있다. Tapered 시편 균열시험시 발생한 종균열은 이 등축 결정립이 발달한 용접금속 중심부를 따라 발생, 전파하므로 고온 균열 감수성이 결정립 크기와 관계있는 것으로 고찰된다.

Mg 함량 변화에 따른 Al-Mg 합금 CO<sub>2</sub> 레이저 용접부 center-line 부위의 결정립도와 고온 균열감수성과의 관계를 Fig. 2에 보이고 있다. Mg 함량이 증가함에 따라 CO<sub>2</sub> 레이저 용접부의 결정립도가 감소하며, 결정립도가 감소함에 따라 고온균열감수성이 감소함을 확인하였다 (pure grade 알미늄은 예외). 이것은 Dudas 등<sup>6)</sup>이 보고한 바와 같이 미세 결정립은 조대한 결정립에 비해 국부적인 변형을 용이하게 완충할 수 있어 균열감수성을 낮출 수 있다는 주장을 뒷받침하는 것으로 보인다.

그러나 Mg 함량 1.9wt.%이하 영역에서의 결정립도와 고온균열감수성간의 관계가 1.9wt%Mg 이상의 영역에서 관찰된 것과 반대의 거동을 나타내는데, 0~1.9wt.%Mg 영역에서는 고온균열감수성에 영향을 주는 여러 인자중 결정립도보다 크게 영향을 미치는 인자가 있는 것으로 추정된다.

#### 4. 결론

- 가. Al-Mg 합금 CO<sub>2</sub> 레이저 용접부의 고온 균열 감수성은 Mg 함량과 직접적인 관련이 있으며 Mg이 1.9wt.% 함유된 5251합금의 고온균열감수성이 가장 높다. Mg 함량이 1.9wt.%에서 증가 또는 감소하면 고온균열감수성이 감소한다.
- 나. 결정립도 또한 고온균열감수성과 관련이 있으며 Mg 함량이 증가하여 결정립도가 감소 할수록 고온균열감수성이 감소한다.

#### 참고문헌

1. Yoon J W , "Solidification crack susceptibility of laser welded aluminium alloys (I)", Proc. of National Conf of the Korean Welding Society, 27-28 May (1999) Seoul, pp274-277
2. Yoon J W , "알루미늄 합금 레이저 용접시 고온균열 감수성의 정량화", Proc. of National Conf of the Korean Welding Society, 28-29 Oct. (1999) Taejon, pp198-201
3. Jones et al., "CO<sub>2</sub> laser welding of 5000 series aluminium alloys - updates", Report of TWI, Oct., (1992)
4. Pumphrey et al., "Cracking during the casting and welding of the more common binary aluminum alloys", J. Inst. of Metals, Vol. 74 (1948) pp439-455.
5. Dowd, "Weld cracking of aluminium alloys", Welding Journal, Vol. 31, No. 10 (1952) pp448s-456s.
6. Dudas et al., "Preventing weld cracking high strength aluminium alloys", Welding Journal, Vol. 45, No. 6 (1966) pp241s-249s.

Alloy (batch)	Si	Fe	Cu	Mn	Mg	Cr	Zn	Ti
1200	0.06	0.27	<0.01	<0.01	<0.02	<0.01	0.01	0.01
5005	0.05	0.37	0.04	0.05	0.77	<0.01	<0.01	-
5251(1)	0.05	0.16	<0.01	0.23	1.91	<0.01	0.04	-
5251(2)	0.14	0.36	0.03	0.25	2.19	0.02	0.05	-
5754(1)	0.06	0.16	<0.01	0.24	3.06	<0.01	<0.01	-
5754(2)	0.06	0.16	<0.01	0.24	3.07	<0.01	0.07	-
5083(1)	0.14	0.29	0.02	0.63	4.46	0.05	0.01	-
5083(2)	0.14	0.30	0.02	0.63	4.54	0.05	0.03	-

**Table 1** Nominal chemical compositions (in wt.%) of aluminium alloys used (balance aluminium).

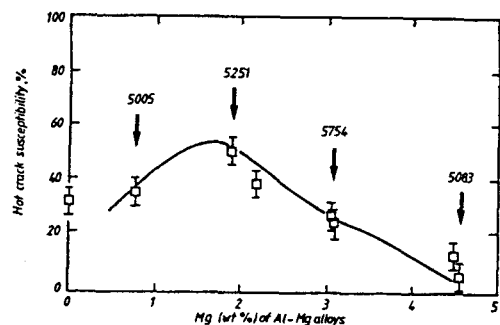


Fig. 1 Solidification crack susceptibility of CW CO<sub>2</sub> welds in 2mm thick Al-Mg alloys.

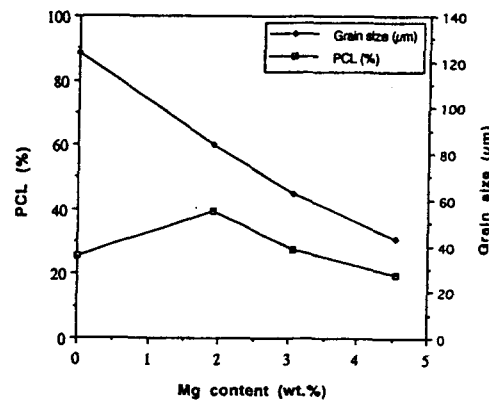


Fig. 2 Solidification crack susceptibility and grain size with Mg content of Al-Mg alloy laser welds.